

УДК 553.098.044

А. В. Растегаев

Пермский государственный технический университет

ПРОГНОЗИРОВАНИЕ ПОДТВЕРЖДАЕМОСТИ СТРУКТУР, ПОДГОТОВЛЕННЫХ СЕЙСМОРАЗВЕДКОЙ, НА ПРИМЕРЕ БЫМСКО-КУНГУРСКОЙ ВПАДИНЫ

Приведен пример обоснования построения геолого-математических моделей прогноза подтверждаемости структур в Бымско-Кунгурской впадине.

К настоящему времени установлено, что прогнозирование подтверждаемости структур, подготовленных к глубокому бурению сейсморазведкой, целесообразнее проводить в пределах одного тектонического элемента, по которому составляются геолого-математические модели прогноза.

К сожалению, при оценке подтверждаемости структур такой принцип составления моделей не всегда учитывается. В качестве примера решения данного вопроса выполним обоснование построения геолого-математических моделей прогноза подтверждаемости структур в наиболее сложном в отношении подготовки структур тектоническом элементе Пермской области – Бымско-Кунгурской впадине.

Выполненный анализ информативности показателей по Бымско-Кунгурской впадине показывает, что ни по одному из отдельно взятых показателей не удается однозначно разделить подтвердившиеся и неподтвердившиеся структуры. Поэтому с помощью линейного дискриминантного анализа (ЛДА) изучены различные сочетания показателей. Установлено, что для практической реализации можно использовать следующую ЛДФ:

$$Z = 0,1835 M + 0,0002 \text{ БП} + 0,4209 \alpha_p / \alpha_r + 1,0879 \alpha_a - 0,1725 A + \\ + 0,0537 S - 1,5320 A / \Delta H + 0,1063 L_m + 0,0380 \text{ СК} - 14,4173 P_{cr} + \\ + 0,0043 \text{ ПР} - 0,2153 L_r + 5,2861$$

(при многомерном центре подтвержденных глубоким бурением структур $Z_d = -4,04$, неподтвержденных $Z_n = 3,36$, $R = 0,97$, $\chi^2 = 38,79$),
где M – мощность осадочного чехла, км;

БП – расстояние от центра структуры до осевой зоны ККСП, км;

α_r – критический угол наклона крыла структуры по нижнекаменноугольным отложениям, град.;

α_p – региональный угол наклона терригенных нижнекаменноугольных отложений, град.;

A – амплитуда поднятия, м;

S – площадь поднятия, км^2 ;

ΔH – расчетная погрешность сейсмических построений, м;

L_m – расстояние от структуры до ближайшего месторождения, км;

СК – количество структурно-параметрических скважин, шт.;

P_{cr} – комплексный показатель, учитывающий строение верхней части разреза;

ПР – осредненная прослеживаемость отражений от целевых сейсмических горизонтов, %;

L_r – расстояние от центра структуры до ближайшей глубокой скважины, км.

По данной формуле определены значения Z_i и установлено, что все эталонные и экзаменационные структуры определены верно.

С целью определения необходимости использования в геологоматематических моделях величины P_{cr} выполнена замена ее на параметр СГ (номер сейсмогеологической зоны, используемый в Пермской области) и получена следующая ЛДФ:

$$Z^1 = -0,1305 M - 0,0059 \text{ БИ} - 0,4599 \alpha_p/\alpha_p - 1,1777 \alpha_x + \\ + 0,1916 A - 0,0051 S + 2,3294 A/H - 0,1015 L_m - 0,0666 \text{ СК} - \\ - 1,8410 \text{ СГ} + 0,0352 \text{ ПР} + 0,1584 L_r + 2,1586,$$

при $\bar{Z}_{1m}^1 = 2,27$, $\bar{Z}_{1n}^1 = -1,89$, $R = 0,9$, $\chi^2 = 24,48$.

На рисунке сопоставлены значения Z и Z^1 для эталонных структур. Установлено, что обучающая выборка с использованием P_{cr} более надежно делит анализируемые структуры на классы.

Кроме этого, по территории БКВ выполнены расчеты с использованием вероятностных кривых и определено, что все эталонные и экзаменационные структуры расклассифицированы верно. В табл. 1 приведены значения линейных дискриминантных функций, построенных с помощью следующих эталонов: первый эталон учитывает территорию всей Пермской области; второй – территорию юга Пермской области и третий – БКВ. При расчетах, выполненных по первому эталону, распределение структур по интервалам характеризуется для подтвердившихся структур от 0 до 4, при модальном интервале от 0 до 1, затем по мере увеличения значений Z_1 частоты встречаемости убывают, для неподтвердившихся максимальной частотой характеризуется интервал от -2 до -3. При использовании второго обучающего эталона для подтвердившихся структур наблюдается смещение модального интервала (от 2 до 3), для неподтвердившихся модальный интервал остался на месте, но частота его увеличилась на 0,1. При этом необходимо отметить, что наблюдается интервал от -1 до 0, где никаких структур встречено не было. При использовании более локального эталона с учетом показателя P_{cr} , описывающего строение верхней части разреза (ВЧР), наблюдается ряд интервалов от -2 до 2, где структуры встречены не были. Для подтвердившихся структур модальный интервал от -3 до 4, для неподтвердившихся от -3 до -4, т.е. наблюдается смещение модальных интервалов относительно 0, что свидетельствует о значительной большой разделяющей способности ЛДФ, построенной по территории БКВ.

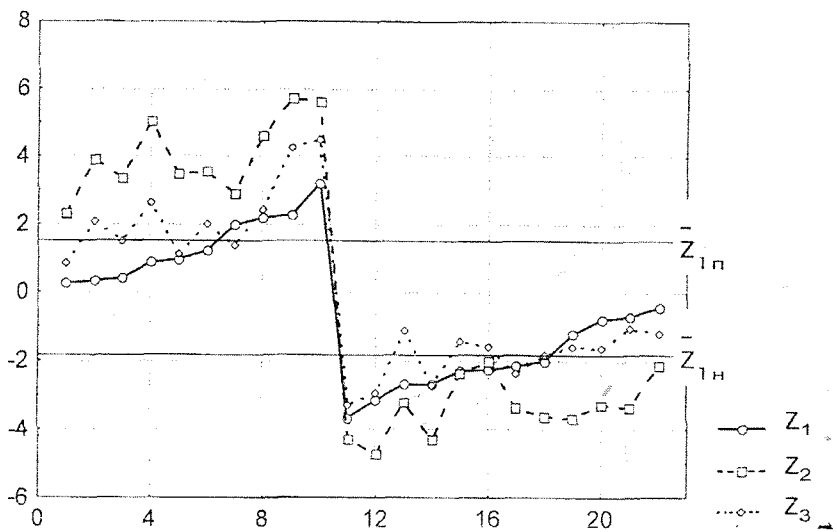


Рис. Изменение значений Z : Z_1 - всей области, Z_2 - юга, Z_3 - БКВ

Аналогичный эталон был реализован для БКВ, но только вместо показателя P_{cr} применялся показатель СГ, характер распределения частот значительно изменился и приблизился к 0. Кроме этих расчетов, выполнено сравнение по средним значениям (табл. 2). Приведенные в табл. 2 данные также убедительно свидетельствуют о том, что при разработке геолого-математических моделей прогноза необходимо учитывать не только возможности территориально-тектонических эталонов, но и те признаки, которые «заложены» в тот или иной эталон. Особенно это наглядно видно при сравнении третьих территориальных эталонов.

В табл. 3 сопоставлены с помощью коэффициентов корреляции рассчитанные значения дискриминантных функций, построенных с использованием различных эталонов. При сравнении обобщенного эталона с эталонами Z_1 и Z_2 получены наиболее высокие коэффициенты корреляции в случае, когда совместно использованы как подтвержденные, так и неподтвержденные структуры. Для всех структур в целом между Z_1 и Z_2 , Z_3 и Z_1 , Z_3 и Z_2 существует следующая корреляционная связь:

$$Z_2 = 0,29705 + 1,3089 Z_1,$$

$$Z_3 = 0,84310 + 1,8175 Z_1,$$

$$Z_3 = 0,42124 + 1,3581 Z_2.$$

Таблица 1

Распределение значений Z , построенных по различным эталонам

| Эталон | Частоты встречаемости в интервалах изменения значений Z_1 , Z_2 , и Z_3 | | | | | |
|--|---|----------|----------|----------|---------|--------|
| | -5... -4 | -4... -3 | -3... -2 | -2... -1 | -1... 0 | 0... 1 |
| Подтверждавшиеся структуры | | | | | | |
| Первый | 0,16 | 0,41 | 0,16 | 0,25 | 0,5 | 0,2 |
| Второй | 0,08 | 0,17 | 0,50 | 0,25 | 0,2 | 0,1 |
| Третий | 0,3 | 0,6 | 0,3 | | | |
| Третий (вместо P_{cr} учитывается СГ) | | 0,08 | 0,25 | 0,67 | 0,1 | 0,3 |
| Неподтверждавшиеся структуры | | | | | | |
| Первый | | | | | 0,2 | 0,1 |
| Второй | | | | | 0,4 | 0,3 |
| Третий | | | | | 0,2 | 0,4 |
| Третий (вместо P_{cr} учитывается СГ) | | | | | 0,2 | 0,2 |

Таблица 2

Статистические характеристики ЛДФ,
построенных по различным эталонам

| Эталон | Подтверждившиеся структуры | Неподтверждившиеся структуры | Все структуры |
|--|----------------------------|------------------------------|--------------------------|
| Первый | $1,38 \pm 0,99; 71,73$ | $-1,99 \pm 0,97; 48,74$ | $-0,46 \pm 0,95; 206,52$ |
| | $0,30 \dots 3,2$ | $-3,6 \dots -0,5$ | $-3,6 \dots 3,2$ |
| Второй | $2,53 \pm 1,20; 47,43$ | $-2,64 \pm 0,65; 24,62$ | $-0,30 \pm 2,76; 920,00$ |
| | $0,30 \dots 4,3$ | $-4,3 \dots -1,7$ | $-4,3 \dots 4,3$ |
| Третий | $4,04 \pm 1,17; 29,17$ | $-3,37 \pm 0,87; 26,12$ | $0,0045 \pm 3,87; 86000$ |
| | $2,2 \dots 5,7$ | $-4,8 \dots -2,1$ | $-4,8 \dots 5,7$ |
| Третий (вместо P_{cr} учитывается СГ) | $2,27 \pm 1,24; 54,62$ | $-1,89 \pm 0,74; 39,15$ | $0,0012 \pm 2,34; 19500$ |
| | $0,4 \dots 4,3$ | $-3,4 \dots -1,1$ | $-3,4 \dots 4,3$ |

Примечание. В числителе – среднее значение, среднеквадратичное отклонение, коэффициент вариации, в знаменателе – размах значений.

Таблица 3

Корреляционная матрица

| Эталон | Значения дискриминантных функций | | |
|--------|----------------------------------|---------------------|---------------------|
| | Первый эталон Z_1 | Второй эталон Z_2 | Третий эталон Z_3 |
| Z_1 | 1,00 | 0,93* | 0,92* |
| | 1,00 | 0,68* | 0,65* |
| | 1,00 | 0,62* | 0,56 |
| Z_2 | | 1,00 | 0,97* |
| | | 1,00 | 0,78* |
| | | 1,00 | 0,53 |
| Z_3 | | | 1,00 |
| | | | 1,00 |
| | | | 1,00 |

Примечания. * Статистически значимые коэффициенты корреляции. Верхняя цифра – все структуры, средняя – неподтверждившиеся, нижняя – подтверждившиеся структуры

При использовании эталона, составленного из подтвержденных структур, связи значительно ослабляются, но во всех вариантах являются значимыми (0,68; 0,65; 0,78).

При расчете коэффициентов корреляции для неподтвержденных структур связи еще более ослабляются и в двух случаях из трех становятся статистически незначимыми.

В случае, когда имеются данные по всем трем выше рассмотренным эталонам, суммарную вероятность подтверждения подготовленной структуры можно будет определить по следующей формуле:

$$P_{\Sigma} = -0,0361 Z_1 + 0,0399 Z_2 + 0,1163 Z_3 + 0,4495$$

при $R = 0,96$, отношение $F_p / F_t = 28,5$.

По данной формуле все эталонные и прогнозные структуры были расклассифицированы верно.

По построенным вероятностно-статистическим моделям в течение последних пяти лет были оценены более 20 поднятий, подготовленных к глубокому бурению. Прогноз выполнялся всегда до постановки на структуре глубокого бурения. К настоящему времени 15 структур, по которым выполнен прогноз, разбурен. Прогноз подтвердился по 12 структурам, что свидетельствует о достаточно высокой эффективности построенных геолого-математических моделей прогноза подтверждаемости структур, подготовленных сейсморазведкой к глубокому бурению.

Получено 11.01.2000

УДК 553.061

И. В. Ванцева

Пермский государственный технический университет

ОЦЕНКА ПРОГНОЗНЫХ РЕСУРСОВ ЭЙФЕЛЬСКИХ ОТЛОЖЕНИЙ

Подсчитаны ресурсы углеводородов эйфельских отложений для территории Пермского Прикамья объемно-генетическим методом.

Особенностью терригенного девона в Прикамье является относительно невысокое содержание органического вещества (ОВ). По данным Е. С. Ларской и К. Ф. Родионовой*, ОВ находится, как правило, либо в сорбированном состоянии, либо в виде экзинитового микродетрита, и принадлежит к сапропелевому типу. Снизу вверх по разрезу терригенного девона наблюдается

* Ларская Е.С. Диагностика и методы изучения нефтематеринских толщ. М.: Недра, 1983. 200 с.